

**Artículo de revista:**

Marbán Martínez, Laura; Recaño, Joaquín & Reynaud, Cecilia (2025). "Explorando los componentes del crecimiento demográfico reciente de los municipios del sur de Europa: España e Italia en perspectiva comparada." *Boletín De La Asociación De Geógrafos Españoles*, (103). <https://doi.org/10.21138/bage.3589>

# Explorando los componentes del crecimiento demográfico reciente de los municipios del sur de Europa: España e Italia en perspectiva comparada

Exploring the components of recent population growth in southern European municipalities: Spain and Italy in comparative perspective

Laura Marbán Martínez 

[lmarban@ced.uab.es](mailto:lmarban@ced.uab.es)

Centre d'Estudis Demogràfics y Departamento de Geografía

Universitat Autònoma de Barcelona (España)

Joaquín Recaño 

[Joaquin.Recano@uab.cat](mailto:Joaquin.Recano@uab.cat)

Departamento de Geografía y Centre d'Estudis Demogràfics

Universitat Autònoma de Barcelona (España)

Cecilia Reynaud 

[cecilia.reynaud@uniroma3.it](mailto:cecilia.reynaud@uniroma3.it)

Departamento de Ciencias Políticas

Università Roma Tre (Italia)

## Resumen

España e Italia son dos países con fuertes desequilibrios territoriales en el crecimiento demográfico y sus componentes. El objetivo de este artículo es identificar los factores demográficos que han intervenido a escala local en el crecimiento reciente de la población de ambos países y analizar los patrones geográficos de estos componentes utilizando técnicas de econometría espacial. Los datos empleados proceden del *Padrón Continuo* (España) y del *Anagrafe della popolazione residente* (Italia) de los años 2011 y 2021, las estadísticas vitales y los movimientos migratorios (internos e internacionales) del periodo 2011-2020. Se han calculado tasas locales de crecimiento real, natural y migración neta con las que se ha elaborado una tipología de crecimiento demográfico que recoge todos los patrones de crecimiento posibles en función de las combinaciones de los componentes. Los resultados muestran que: (i) ambos países comparten tendencias demográficas similares: el crecimiento natural es el factor más influyente en las pérdidas de población; mientras que el crecimiento positivo depende íntegramente de la migración neta; (ii) que la situación demográfica de España es más crítica y heterogénea que la italiana; (iii) y que las tasas de crecimiento real, natural y migración neta presentan una clara dependencia espacial en ambos países.

**Palabras clave:** crecimiento natural; migración; análisis espacial; desequilibrios territoriales; población.

## Abstract

Spain and Italy are two countries characterized by significant territorial imbalances in demographic growth and its components. This article aims to identify the demographic factors influencing recent population growth at the local scale in both countries and to analyze the geographic patterns of these components using spatial econometrics techniques. The data used were drawn from the *Padrón Continuo* (Spain) and the *Anagrafe della popolazione residente* (Italy) for the years 2011 and 2021, along with vital statistics and migration flows (both internal and international) for the period 2011–2020. Local rates of real growth, natural increase, and net migration have been calculated to develop a typology of demographic growth that includes all possible growth patterns based on the combinations of these components. The findings reveal that: (i) both countries share similar demographic trends, with natural increase being the main driver of population decline, while positive growth depends entirely on net migration; (ii) Spain's demographic situation is more critical and heterogeneous compared to Italy's; and (iii) real growth rates, natural increase rates, and net migration rates exhibit clear spatial dependence in both countries.

**Key words:** natural increase; migration; spatial analysis; territorial imbalances; population.

## 1 Introducción

España e Italia son dos países caracterizados por una demografía con fuertes desequilibrios territoriales. En España, estos contrastes se manifiestan, a grandes rasgos, en las significativas diferencias en las pautas de crecimiento de las regiones del norte e interior, a excepción de Madrid, con respecto a la costa mediterránea y los espacios insulares (De Cos, 2023; Recaño, 2023a); mientras que en Italia se materializan en la división histórica entre el Norte y el Sur (Rizzo, 2016; Reynaud et al., 2020).

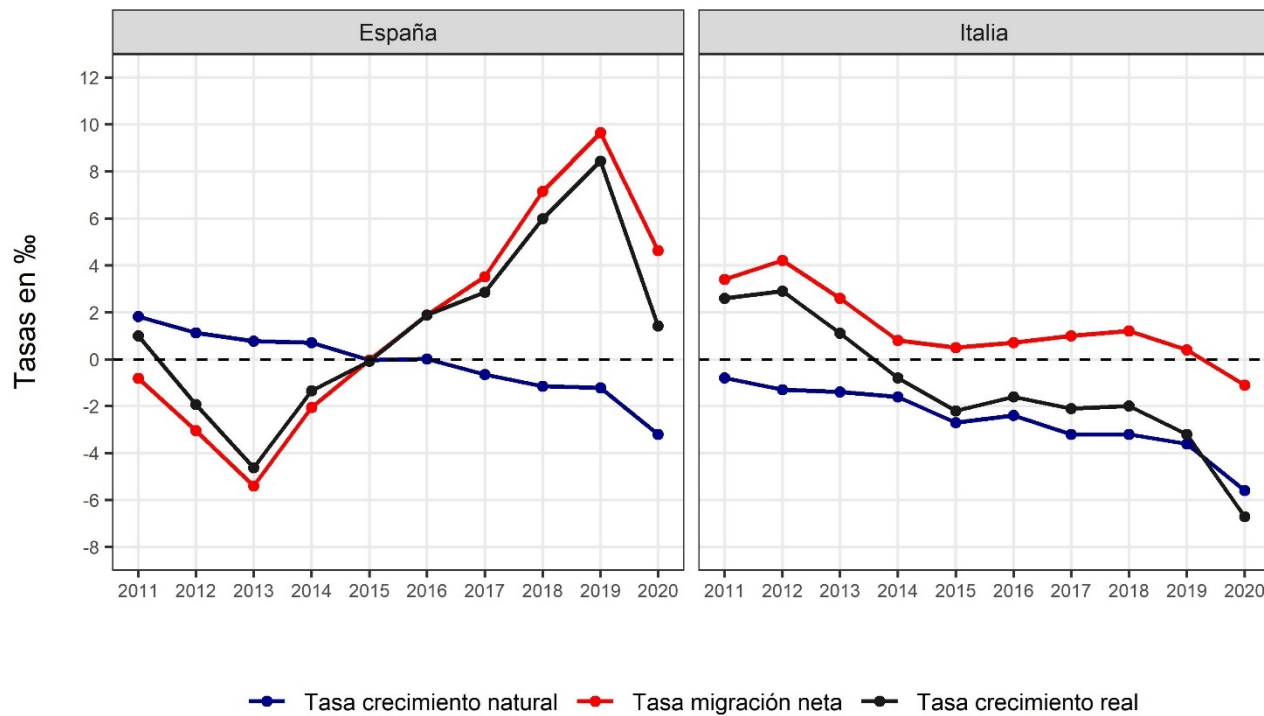
El declive o incremento de la población es el resultado de la interacción entre los componentes del crecimiento natural (natalidad y mortalidad) y migratorio (migración interna e internacional). Desde la perspectiva del crecimiento natural, es importante señalar que la disminución de la tasa de natalidad registrada entre 2011 y 2020 está marcada en ambos países por dos factores complementarios. En primer lugar, un mantenimiento e incluso reducción de las tasas de fecundidad, ya de por sí entre las más bajas del mundo. En segundo lugar, por el abandono progresivo y acelerado de los efectivos en edad fecunda de las generaciones del *baby boom*, y la sustitución en esas edades por las menguantes generaciones correspondientes a la baja fecundidad de la década de 1990 (Carioli et al., 2021; Vitali & Billari, 2017). Este fenómeno, combinado con el incremento en la esperanza de vida, ha desencadenado un acelerado proceso de envejecimiento en ambos países (Tomassini & Lamura, 2009; Reynaud & Miccoli, 2019; Gutiérrez-Posada et al., 2018; Nieto & Capote, 2024), que conducirá inevitablemente a un futuro aumento de las tasas brutas de mortalidad. Sin embargo, la intensidad de estos procesos tiene un alcance desigual en el territorio, debido a las disparidades geográficas existentes en el comportamiento demográfico y las estructuras por edades.

Atendiendo al componente migratorio, hay que destacar que, más allá de sus características específicas, España e Italia comparten modelos migratorios similares (Muñoz-Pérez & Izquierdo-Escribano, 1989; King, 2000; King & DeBono, 2013; Bonifazi et al., 2009). En lo que respecta a las migraciones internas, la intensidad de este tipo de flujos ha decrecido en los últimos años y se ha caracterizado por un equilibrio entre la migración interurbana, los procesos de suburbanización y los movimientos procedentes de las zonas rurales menos densas, en contraste con el éxodo rural dominante en décadas pasadas (Bonifazi, 2015; Rowe et al., 2019; Recaño, 2020). Por otra parte, el supuesto “éxodo urbano” experimentado con la irrupción de la COVID-19, que despertó la esperanza de una transformación en el tradicional modelo migratorio campo-ciudad, ha supuesto un mero cambio coyuntural, regresando los flujos rurales y urbanos a la dinámica previa a la

pandemia (González-Leonardo et al., 2022; Alaimo et al., 2022). En España, los espacios que atraen más población por migración interna son la región de Madrid y sus provincias limítrofes, los espacios insulares y la costa mediterránea (Recaño, 2020). En Italia, se mantiene el tradicional flujo sur-norte, desde las zonas menos desarrolladas a las más prósperas (Benassi et al., 2019), con un especial protagonismo de las regiones del noreste que atraen flujos del conjunto de Italia (Buonomo et al., 2024). En cuanto a la migración internacional, la entrada de inmigrantes del extranjero se incrementó en España (Bayona-i-Carrasco & Domingo, 2023) e Italia tras el periodo de recesión económica, frenándose solo de manera coyuntural por el impacto de la pandemia, como confirman para ambos países las series estadísticas de 2015-2022 proporcionadas por Eurostat. Una vez llegada al país, esa inmigración suele distribuirse siguiendo los patrones espaciales de migración interna de la población local, pero con una intensidad migratoria más elevada (Recaño, 2016; Gil-Alonso et al., 2015; Casacchia et al., 2022).

La Figura 1 muestra las tasas de crecimiento natural (TCN), migración neta (TMN) y crecimiento real (TCR) de España e Italia entre los años 2011 y 2020. Ambos países comparten un rasgo común en cuanto a la temporalidad de las pérdidas por crecimiento natural, aunque más intensas en el caso italiano, coronadas en ambos países por un mínimo en 2020, vinculado a la elevada mortalidad de la pandemia de COVID-19 (Heuvelin & Tzen, 2021). Las tasas de migración neta, por el contrario, aunque positivas en la mayor parte de los años, revelan un camino dispar en temporalidades e intensidades. La Gran Recesión tuvo un fuerte impacto sobre los flujos en España, de menor entidad en Italia. Estos papeles se invierten durante el primer año de la pandemia (2020), cuando las tasas de migración neta disminuyen en ambos países, convirtiéndose en negativas en Italia, pero manteniéndose positivas en España. En todo caso, las tasas de migración neta internacional son más intensas en España. En resumen, las temporalidades e intensidades diferentes en ambos países acaban dibujando una senda de crecimiento en España y de decrecimiento en Italia.

Figura 1. Componentes del crecimiento demográfico en España e Italia (2011-2020)



Fuente: elaboración propia a partir de los indicadores demográficos del INE e ISTAT

Todas estas evoluciones plantean algunos interrogantes sobre el papel que ejercen los diferentes componentes demográficos en la dinámica territorial del crecimiento de ambos países. El objetivo principal de este artículo es, precisamente, identificar, comparar y cuantificar los factores demográficos a escala local en el crecimiento de la población de ambos países en el período 2011-2020, y analizar los patrones geográficos de estos componentes utilizando técnicas de econometría espacial.

Las hipótesis de partida y preguntas de investigación que sostienen este trabajo son las siguientes:

- (i) la evolución demográfica reciente de España e Italia sugiere, dados sus antecedentes, la presencia de patrones de crecimiento similares en el componente natural y algo divergentes en el patrón migratorio: ¿Cómo se dibujan las intensidades de ambos componentes en la escala municipal?;
- (ii) las zonas que pierden población lo hacen, principalmente, por el efecto de un crecimiento natural negativo, promovido por la caída de la natalidad y el continuo incremento de las tasas de mortalidad derivadas del envejecimiento de la población; mientras que las zonas que crecen lo hacen gracias a un balance positivo del saldo migratorio: ¿Cómo se distribuyen estos patrones en el territorio?;

(iii) dada la distribución territorial de los componentes demográficos, es muy probable que encontremos autocorrelación espacial en las dinámicas demográficas analizadas: ¿Qué clústeres de componentes demográficos se identifican en la geografía de ambos países?

En las próximas páginas se contrastarán estas hipótesis y preguntas de investigación.

## 2 La evolución del crecimiento y sus componentes

Para comprender los desequilibrios demográficos que caracterizan ambos países, es esencial considerar que, más allá de sus características distintivas, España e Italia comparten una narrativa histórica común, marcada por procesos simultáneos de migración (King, 2000), transformación de la fecundidad (Delgado & Livi Bacci, 1992) y despoblación desde mediados del siglo XX (Collantes & Pinilla, 2011). Estos fenómenos, interconectados, han dejado una impronta duradera en la configuración demográfica y territorial de ambos países.

Entre finales del siglo XIX y principios del XX, ya se observaban señales incipientes de cambios en la distribución de la población. En España, comenzaba a evidenciarse el éxodo de las zonas rurales cercanas al País Vasco y Cataluña (Silvestre, 2005; Recaño, 2023a), mientras que, en Italia, la intensa emigración hacia América y la progresiva urbanización provocaban la despoblación de ciertas áreas montañosas del norte (Golini et al., 2000). El continuo avance y la consolidación de la industrialización, así como la modernización económica, fomentaron la migración interna, provocando el abandono de las zonas económicamente desfavorecidas de cada país (Gallo, 2012; Reynaud & Miccoli, 2019; Collantes & Pinilla, 2019; Molinero & Alario, 2019). Por lo que respecta a la migración internacional, la emigración hacia el noroeste de Europa comenzó a cobrar cierta importancia en España durante la postguerra (Reques & De Cos, 2003), un flujo migratorio que ya llevaba tiempo instalado en Italia (Bonifazi et al., 2009). A pesar de ello, el excedente demográfico, debido a la alta fecundidad y el retroceso de la mortalidad, llegó a compensar, en muchas ocasiones, la pérdida de población por emigración durante esta época (Cabré et al., 2001; Del Panta & Detti, 2019).

A partir de la década de 1970, ambos países comenzaron a experimentar una serie de cambios demográficos caracterizados por la caída de la fecundidad (Delgado Pérez & Livi Bacci, 1992) y el ligero aumento de las defunciones debido al envejecimiento de la población. Estas transformaciones agotaron las ya mermadas reservas demográficas del mundo rural a consecuencia de la emigración y debilitaron el patrón migratorio campo-ciudad. Simultáneamente, las áreas urbanas experimentaban procesos de desconcentración impulsados por fenómenos de

contraurbanización y suburbanización (Martinotti, 1993; Bonifazi & Heins, 2003; Susino & Duque Calvache, 2013; López Gay, 2017).

Entre 1991 y 2011, España e Italia fueron testigos de una transformación del modelo migratorio interno y externo que incrementó los desequilibrios territoriales (Recaño & de Miguel-Luken, 2012; Benassi et al., 2019). Entre 2001 y 2011, el número de municipios con pérdidas de población, en su mayoría rurales, disminuyó debido al aumento en los flujos de inmigración extranjera (Collantes et al., 2014). La inmigración internacional se convirtió en la principal responsable del crecimiento demográfico de ambos países (Domingo y Blanes, 2015; Domínguez-Mujica & Pérez-García, 2017). Su impacto, transcendió la simple contribución numérica, ya que la estructura por edades de los inmigrantes internacionales fue capaz de frenar temporalmente la reducción de las tasas de natalidad que arrastraban ambos países desde finales del siglo XX (Billari, 2008; Castro Martín & Rosero-Bixby, 2011; King & DeBono, 2013; Del Rey & Grande, 2015). Sin embargo, este aporte no fue suficiente para detener el paulatino proceso de envejecimiento de la población (Serrano-Martínez & García-Marín, 2018; Reynaud & Miccoli, 2019). Aunque hubo una proporción de la población extranjera que se estableció en las zonas rurales (Camarero et al., 2013; Collantes et al., 2014), la mayor parte se concentró en las zonas económicamente más productivas: Madrid, Cataluña y la zona de Levante, en el caso de España (Reher & Silvestre, 2009), y las regiones septentrionales y centrales, en el de Italia (Strozza et al., 2016). Este patrón de asentamiento contribuiría, con el paso del tiempo, a acentuar los contrastes en la distribución geográfica de la población: el fenómeno de la despoblación se vería potenciado en el noroeste y el interior de España (González-Leonardo et al., 2023), así como en el sur y en las zonas insulares italianas (Reynaud & Miccoli, 2023). La recesión económica de 2008 produjo una disminución de la inmigración exterior hasta el año 2013, fecha a partir de la cual los flujos recuperaron los volúmenes previos a la crisis económica (Domingo & Blanes, 2015; Bayona-i-Carrasco & Domingo, 2023).

En los últimos años, el declive demográfico ya no se limita exclusivamente a las áreas rurales, sino que también afecta a algunas ciudades pequeñas y medianas (Wolff & Wiechmann, 2018; González-Leonardo, 2021), lo que añade una mayor complejidad a la caracterización territorial de la demografía de ambos países. En las próximas páginas se indagará cómo se manifiestan las diferentes tendencias demográficas descritas en el espacio geográfico de España e Italia.

### 3 Fuentes y metodología

#### 3.1 Datos

La elección del periodo de análisis, comprendido entre 2011 y 2020, se fundamenta en el cambio significativo en las dinámicas de crecimiento demográfico y la intensificación de los procesos de despoblación en ambos países.

Los datos empleados en este artículo proceden del Instituto Nacional de Estadística (INE) y el Istituto Nazionale di Statistica (ISTAT). La información sobre España se ha elaborado a partir de los datos del Padrón Continuo (PC) correspondientes a los recuentos de población a 1 de enero de 2011 y 2021; y de los registros, para el periodo 2011-2020, de las estadísticas vitales derivadas del Movimiento Natural de la Población (MNP), y de la Estadística de Variaciones Residenciales (EVR), que recoge las migraciones internas e internacionales. En el caso de Italia, se han utilizado las Estimaciones Intercensales de Población del 1 de enero de 2011 y 2021 procedentes de los *Anagrafe della popolazione residente*, así como los datos correspondientes a los eventos vitales y migratorios que registra la misma fuente entre 2011 y 2020.

Las unidades espaciales analizadas son los municipios, unidades administrativas locales reconocidas por EUROSTAT como *Local Administrative Units* (LAU). En los diez años que componen este estudio, se registraron algunos cambios relacionados con la unión y segregación de municipios. Para homogeneizar el contenido de las estadísticas, se llevó a cabo un proceso de reconstrucción de la información de ambos países, utilizando como referencia los términos municipales a 1 de enero de 2021. De esta manera, se creó una base de datos compuesta por más de 16 000 observaciones municipales: 8131 para España y 7903 para Italia.

#### 3.2 Métodos

Una vez recopilada la información, se procedió al cálculo de los indicadores demográficos de cada unidad espacial. Como resultado, se obtuvieron las tasas brutas de crecimiento natural (TCN), migración neta (TMN) y crecimiento real (TCR).

$$TCN_i^{2011-2021} = \left( \frac{(N_i^{2011-2020} - D_i^{2011-2020})/10}{\bar{P}_i^{2011-2021}} \right) * 1000$$

$$TMN_i^{2011-2021} = \left( \frac{(I_i^{2011-2020} - E_i^{2011-2020})/10}{\bar{P}_i^{2011-2021}} \right) * 1000$$

$$TCR_i^{2011-2021} = TCN_i^{2011-2021} + TMN_i^{2011-2021}$$

Donde  $i$  es la unidad espacial,  $N$  la suma de los nacimientos del período 2011-2020,  $D$  la suma de las defunciones del período 2011-2020,  $I$  la suma de las inmigraciones del período 2011-2020,  $E$  la suma de las emigraciones del período 2011-2020 y  $\bar{P}$  las poblaciones medias del período 2011-2021. Las tasas calculadas son la media anual del período.

Posteriormente, se procedió a la construcción de las tipologías de crecimiento, basadas en todas las combinaciones posibles entre signos de las TCR, TCN y TMN, siguiendo las indicaciones de Eurostat (2023) y la metodología desarrollada por Vidal y Pujadas (1983). Con el propósito de simplificar los criterios de clasificación y facilitar la comprensión de cada modelo de crecimiento, solamente se contemplaron los valores positivos y/o negativos de los indicadores analizados. En los casos en los que el valor del indicador fue igual a 0, se optó por atribuirle un valor positivo.

De este modo, se construyeron 8 grupos de crecimiento (Tabla 1):

Tabla 1. Definición de las tipologías de crecimiento demográfico aplicadas

TIPOLOGÍA DE CRECIMIENTO	TCN	TMN	TCR	
1. Decrecimiento debido en mayor medida a la migración neta negativa	-	-	-	TCN>TMN
2. Decrecimiento debido en mayor medida al crecimiento natural negativo	-	-	-	TCN<TMN
3. Decrecimiento debido solo al crecimiento natural	-	+	-	TCN<TMN
4. Decrecimiento debido solo a la migración neta negativa	+	-	-	TCN>TMN
5. Crecimiento debido solo a migración neta positiva	-	+	+	TCN<TMN
6. Crecimiento debido solo al crecimiento natural	+	-	+	TCN>TMN
7. Crecimiento debido en mayor medida al crecimiento natural	+	+	+	TCN>TMN
8. Crecimiento debido en mayor medida a la migración neta positiva	+	+	+	TCN<TMN

Fuente: elaboración propia

Con el fin de determinar si la distribución territorial de las tasas analizadas es aleatoria o responde a pautas de autocorrelación espacial, se aplicó un análisis de econometría espacial. Para ello, se calcularon los indicadores  $I$  de Global Moran e  $I_i$  de Local Moran. Este tipo de técnicas ha

adquirido un papel relevante en el análisis reciente de las pautas demográficas de España e Italia en los últimos años (Franch et al., 2013; Oliveau et al., 2019; Nieto Masot et al., 2020; Carioli et al., 2021; Benassi et al., 2023b).

Antes de calcular los indicadores, se estableció un criterio que determinó la vecindad de los municipios. A partir de este criterio, se construyó una matriz de pesos que relacionaba cada municipio con todos los demás y que luego sirvió para estimar el valor del indicador espacial. El criterio de contigüidad empleado en las estimaciones de vecinos de este trabajo corresponde al tipo *Rook* de segundo orden. Una matriz de tipo *Rook* considera vecinos a los municipios que comparten algún límite con el municipio  $i$ . El criterio de segundo orden amplía esta relación al considerar la vecindad no solo con los municipios directamente adyacentes, sino también con los vecinos de esos vecinos.

La prueba de estadística espacial a la que se sometieron los datos es la siguiente: en el primer caso, se acepta una posible distribución aleatoria de las tasas (hipótesis nula); en el caso contrario, se acepta la presencia de patrones significativos de dependencia espacial (hipótesis alternativa).

El estadístico que permitió contrastar o descartar la presencia de autocorrelación espacial del conjunto de las tasas es el Índice de Global Moran ( $I$ ) (Moran, 1948), expresado de la siguiente manera:

$$I = \frac{N}{S_0} \cdot \frac{\sum_{i,j}^N w_{ij} (x_i - \bar{x})(x_j - \bar{x})}{\sum_{i=1}^N (x_i - \bar{x})^2}$$

Siendo  $X_i$  el valor de la variable  $x$  en la región  $i$ ;  $\bar{x}$  la media muestral de la variable  $X$ ;  $W_{ij}$  los pesos de la matriz  $W$ ;  $N$  el tamaño muestral; y  $S_0 = \sum_i \sum_j$ . Para este indicador, la hipótesis de presencia de asociación espacial se ha evaluado a un nivel de significación estadística con  $p$ -value  $\leq 0.001$ .

El Local Moran  $I_i$ , conocido como LISA (*Local Indicator of Spatial Association*) y formulado por Anselin (1995), proporcionó el estadístico local y se define de la siguiente manera:

$$I_i = \frac{(x_i - \bar{x})}{\sum_{j=1}^N (x_j - \bar{x})^2 / N} \sum_{j \in \text{vecinas de } i} w_{ij} (x_j - \bar{x})$$

Siendo  $X_i$  el valor de la variable  $x$  en la región  $i$ ;  $\bar{x}$  la media muestral de la variable  $X$ ;  $W_{ij}$  los pesos de la matriz  $W$ ;  $N$  el tamaño muestral; y el  $\sum_j$  el conjunto de unidades vecinas a  $i$ .

Los valores LISA de los indicadores demográficos fueron representados en diferentes mapas, facilitando la identificación de agrupamientos espaciales, valores atípicos y áreas sin asociación

espacial significativa. Los clústeres obtenidos responden a los siguientes criterios de autocorrelación espacial:

- Autocorrelación espacial positiva local, es decir, municipios con valores altos de una variable, rodeados de vecinos similares (clústeres Alto-Alto, o hotspots) y municipios con valores bajos rodeados de otros que también tienen valores bajos (clústeres Bajo-Bajo, o coldspots);
- Autocorrelación espacial negativa local, es decir, municipios con valores altos de una variable rodeados de vecinos con valores bajos (conglomerados Alto-Bajo) y viceversa (conglomerados Bajo-Alto);

Así, la autocorrelación espacial positiva indica la presencia de conglomerados de valores similares en el territorio, información que ayudará a ubicar los patrones de los componentes demográficos con características semejantes en ambos países.

## 4 Resultados

### 4.1 Distribución estadística y espacial de los componentes del crecimiento

Antes de analizar la distribución estadística conjunta de las diferentes tasas, es importante señalar algunas particularidades demográficas y geográficas de España e Italia que pueden incidir en la interpretación de las distribuciones estadísticas de los indicadores estudiados (Tabla 2).

La dimensión demográfica media de los municipios españoles (5830 habitantes) es un 28,6 % inferior a la de los italianos (7495 habitantes). Si bien, se observan diferencias más significativas en la densidad media, presentes en todas las categorías de tamaño de población hasta los 50 000 habitantes: los 196,1 habitantes por  $\text{km}^2$  de Italia, duplican los 93,9 habitantes por  $\text{km}^2$  de España. Pero quizás, la disparidad más importante radica en el peso de los municipios de menos de 500 habitantes, que en España suponen casi la mitad de las entidades locales (49,1%) y un 28,7 % del territorio, mientras que en Italia constituyen solo el 11,2 % de los municipios y el 5,6 % de la superficie. No obstante, cabe señalar que estos espacios concentran un escaso porcentaje de la población en ambos países. Por otra parte, los resultados obtenidos mediante técnicas de econometría espacial muestran otro factor a tener en cuenta: la menor distancia entre municipios que caracteriza la distribución municipal en Italia, en comparación con España. Estos datos también se apoyan en la menor superficie media de los municipios italianos, de 38,2  $\text{km}^2$  frente a los 62,1  $\text{km}^2$  de los españoles.

En resumen, Italia se caracteriza por la presencia de municipios de mayor dimensión demográfica y densidad, dentro de una malla urbana más tupida, con una destacada presencia de ciudades de

talla mediana y pequeña (un 41,1 % de la población reside en municipios entre 2001 y 20 000 habitantes frente al 25 % de España) y una escasa representación de municipios de menor tamaño. Por el contrario, en España, las densidades son menores y los municipios pequeños tienen un claro protagonismo en el territorio, aunque su peso demográfico sea meramente testimonial. Esta sobrerepresentación de municipios pequeños incide en una mayor variabilidad de los indicadores demográficos empleados (Recaño, 2023b).

Como se observa en la Tabla 2, la distribución de las tasas de crecimiento natural por tamaño muestra unos patrones claros en ambos países: en Italia, todas las categorías pierden población por este componente; frente a un comportamiento más heterogéneo en España. En cuanto a las tasas de migración neta, aunque muestran unas pautas más cercanas, la dispersión de los valores positivos y negativos es sensiblemente superior en España.

**Tabla 2. Indicadores demográficos**  
según el tamaño de la población. España e Italia (2011-2020)

TAMAÑO DEMOGRÁFICO	% POBLACIÓN (2021)		% MUNICIPIOS (2021)		DENSIDAD (2021)		TCR (2011-2020)		TCN (2011-2020)		TMN (2011-2020)				
	ESP	ITA	ESP	ITA	ESP	ITA	ESP	ITA	ESP	ITA	ESP	ITA			
0-100	0,2	0,0	16,9	0,8	2,3	3,5	-	24,5	-	19,0	-15,7	-	16,1	-8,8	-2,9
101-500	1,4	0,4	32,2	10,4	5,9	16,5	-	14,1	-	12,4	-11,9	-	11,3	-2,2	-1,1
501-2000	4,1	5,1	23,1	33,4	14,9	41,8	-	6,9	-	7,6	-7,2	-	6,6	0,3	-1,0
2001-5000	6,3	11,0	11,7	25,4	37,7	85,8	-	0,7	-	3,6	-3,0	-	3,6	2,3	0,0
5001-10 000	8,3	13,9	6,8	14,7	75,5	169,8	3,2	-	1,2	-0,5	-2,2	-	3,7	1,0	
10 001-20 000	10,4	16,2	4,3	8,8	149,3	264,8	3,9	0,1	0,3	-	1,5	-	3,5	1,6	
20 001-50 000	16,5	18,9	3,2	4,7	217,5	411,0	6,0	-	0,3	1,5	-	1,7	4,6	1,4	
50 001-100 000	13,0	11,2	1,1	1,2	434,2	442,9	5,3	-	0,6	1,9	-	2,2	3,4	1,5	
100 001-500 000	23,7	11,2	0,7	0,5	968,9	886,8	2,7	0,7	0,4	-	3,4	-	2,3	4,1	
>500 000	16,1	12,0	0,1	0,1	3239,6	3364,8	3,8	2,7	-	0,3	-2,7	-	4,1	5,4	

**Leyenda:** ESP (España), ITA (Italia)

Fuente: elaboración propia a partir de los datos del PC,  
MNP y de la EVR del INE; y de los Anagrafe del ISTAT

La Figura 2 permite comparar de manera simultánea la dispersión y disposición de las tasas brutas de crecimiento natural, migración neta y crecimiento real de España e Italia. La distribución de los componentes en ambos países sigue una jerarquía similar. No obstante, las distintas amplitudes de los rangos intercuartílicos de los tres componentes de estudio destapan una variabilidad demográfica más pronunciada en el contexto español, cuyas posibles causas ya se han abordado en párrafos anteriores.

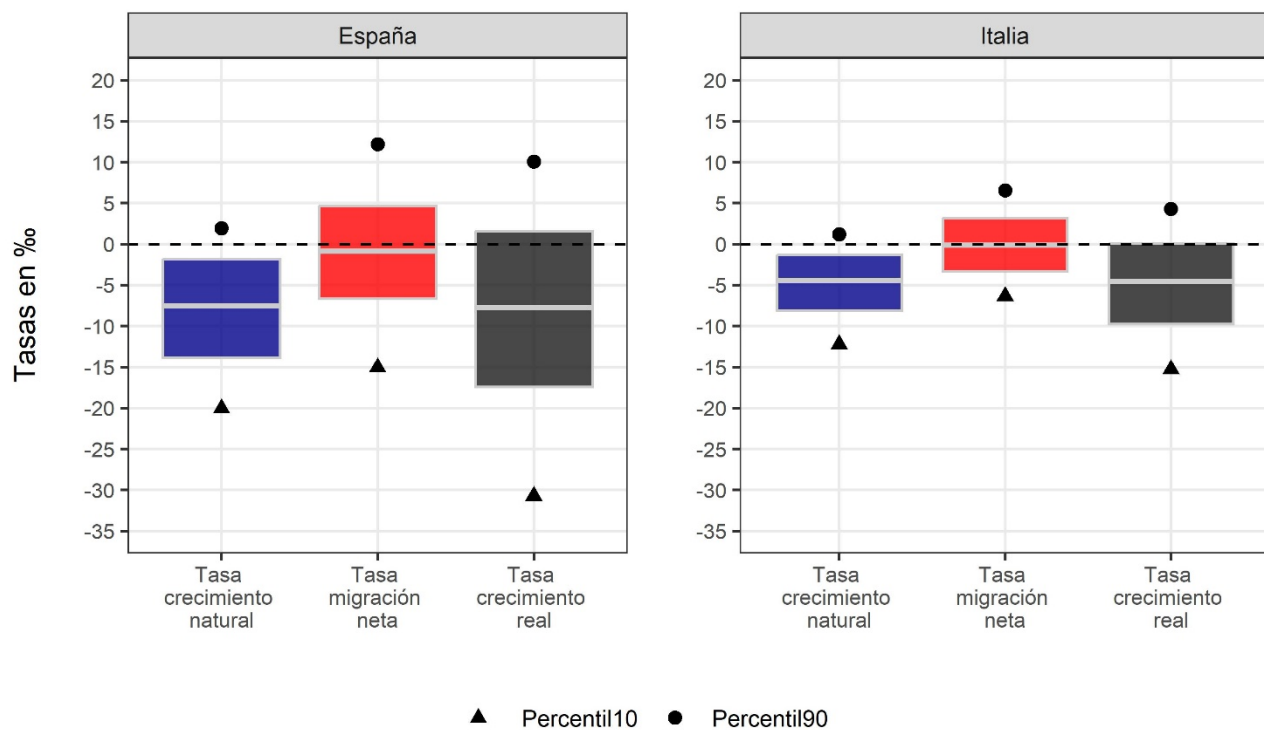
Los niveles locales de las tasas de crecimiento natural españolas e italianas son preocupantes en aras de su contribución al crecimiento. El percentil 90 no sobrepasa, en ninguno de los dos países, el 2 %. Por lo que respecta a las medianas, los valores de España son más pronunciados que los de Italia: mientras que el 50 % de los municipios españoles registra tasas de crecimiento natural por debajo del -7,6 %, el 50 % de los italianos no supera el -4,4 %. Sin embargo, la disparidad más notable se encuentra en el percentil 10 de cada país: en España, el 10 % de las observaciones tiene tasas de crecimiento natural por debajo del -20 %, un dato negativo considerablemente inferior al italiano, que para ese mismo porcentaje de observaciones se sitúa por debajo del -12 %. El papel de los municipios rurales de escasa dimensión demográfica y acusado envejecimiento es el responsable de estos resultados en España.

Las medianas de las tasas municipales de migración neta de España e Italia son muy próximas, -0,6 % y -0,1 % respectivamente, pero los indicadores de dispersión descubren diferencias notables entre ambos países, las más evidentes en los percentiles extremos. El percentil 90 de las tasas de migración neta se sitúa en el 12,2 % en España, y en el 6,5 % en Italia. En el percentil 10, España presenta un -15 %, un valor significativamente inferior al de Italia -6,4 %. España experimenta, por lo tanto, unos valores máximos y mínimos más pronunciados que los de Italia.

La variable que presenta más diferencias en la distribución estadística es el crecimiento real. Esta disparidad es especialmente notoria en los valores de la mediana: mientras que la mitad de los municipios españoles presenta tasas de crecimiento por debajo de -8,5 %, en Italia la mayor parte de las observaciones no logra superar el -4,6 %. La divergencia se torna más evidente al considerar el valor del percentil 10 de cada país. En España, el 10 % de los municipios registra tasas de crecimiento inferiores al -30,8 %, un dato marcadamente más negativo que el italiano, que para ese mismo porcentaje de observaciones sitúa sus tasas por debajo del -15 %. Estos datos muestran que, en términos generales, Italia experimenta, a escala local, unos niveles de crecimiento demográfico menos críticos que España y una dispersión estadística de los indicadores más reducida. Por el contrario, el análisis del percentil 90 evidencia que, en lo que

respecta a los valores extremos positivos, las tasas de crecimiento real españolas (10,5 %) superan ampliamente a las italianas (4,3 %).

Figura 2. Distribución estadística de las tasas brutas de los componentes demográficos



Fuente: elaboración propia a partir de los datos del PC, MNP y de la EVR del INE; y de los Anagrafe del ISTAT

La distribución geográfica de las tasas de crecimiento natural (Figura 3.1) se caracteriza por el dominio de las gamas frías asociadas al decrecimiento. En España, los municipios con indicadores negativos se distribuyen, fundamentalmente, por todo el interior peninsular. Es especialmente notable la intensidad del decrecimiento por este componente en el sector noroccidental y el central, con tasas de crecimiento natural por debajo del -10 %. Por el contrario, los municipios con resultados positivos se concentran en las regiones más dinámicas como la Comunidad de Madrid, Cataluña, gran parte de las zonas costeras del Mediterráneo, Andalucía, los territorios insulares y algunas capitales provinciales dispersas por el territorio. En comparación con España, la distribución geográfica de las tasas italianas de crecimiento natural es más homogénea. Aunque la mayor parte del territorio nacional registra tasas de crecimiento natural negativas, los valores más bajos se concentran en las zonas alpinas de Piamonte y Friuli Venezia Giulia, los Apeninos, las inmediaciones del río Po, la zona sur de la Toscana y el interior de las islas. Los únicos territorios que logran escapar de esta tendencia son el Trentino-Alto Adige, ciertos enclaves de la llanura

Padana, las áreas que circundan Roma y Nápoles, algunos espacios de Puglia, Calabria, y sectores muy concretos de las zonas costeras insulares.

Las tasas de migración neta (Figura 3.2) constituyen el componente con una disparidad geográfica estructural más clara entre España e Italia. El caso italiano se caracteriza por una marcada dicotomía espacial entre el norte y el centro, regiones con migración neta positiva, respecto a un sur dominado por el decrecimiento migratorio. La distribución de las tasas de migración neta en España es más heterogénea, no evidencia un contraste espacial tan marcado como el descrito en Italia, pero sí se observan diferencias significativas entre el interior, con la excepción de Madrid, y las zonas costeras e insulares. Las tasas de migración neta negativas se distribuyen por todo el interior peninsular, pero los municipios con los valores más bajos ( $<-10\%$ ) se ubican principalmente en la mitad norte y en los espacios rurales que rodean Madrid, donde la migración internacional no compensa las pérdidas por emigración interior neta (Recaño, 2023a). Por el contrario, los valores positivos más altos se localizan principalmente en el área metropolitana de Madrid, Cataluña, la Comunidad Valenciana, la costa de Andalucía y los archipiélagos balear y canario.

Finalmente, las tasas de crecimiento real (Figura 3.3) sintetizan la dinámica del crecimiento natural y migratorio. En España, las tasas de crecimiento negativo predominan en el interior peninsular, siendo más acusadas en la zona noroccidental del país y en los territorios cercanos a Madrid, donde se acumulan los efectos negativos del crecimiento natural y migratorio. Por el contrario, las tasas de crecimiento positivas se concentran mayoritariamente en la región metropolitana de Barcelona, la costa mediterránea, andaluza y vasca, Madrid y su área metropolitana, y algunas capitales provinciales dispersas por el interior de la Península. En Italia, las tasas de crecimiento negativo se agrupan principalmente en el sur, las islas, los Apeninos y algunas zonas de los Alpes, donde se repite el esquema español, al aunar un decrecimiento natural y migratorio del mismo signo negativo. Por lo que respecta a la distribución de las tasas de crecimiento positivo, la mayor parte se localiza en áreas concretas del norte, en menor medida en el centro, en torno a la ciudad de Roma y de forma más diseminada en zonas muy acotadas del sur y las islas.

Figura 3. Distribución geográfica de las tasas (%) de componentes de crecimiento

Figura 3.1 Tasas (%) de crecimiento natural

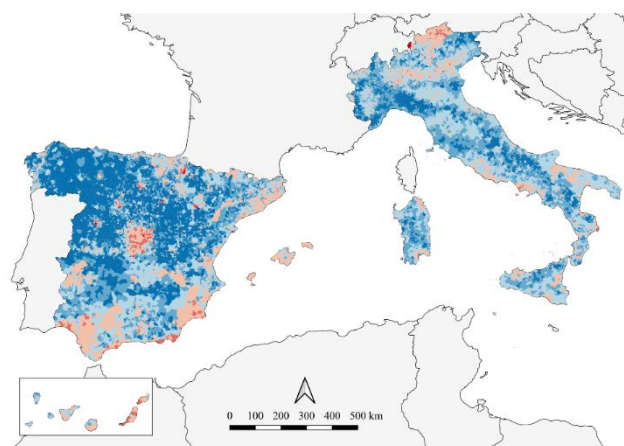


Figura 3.2 Tasas (%) de migración neta

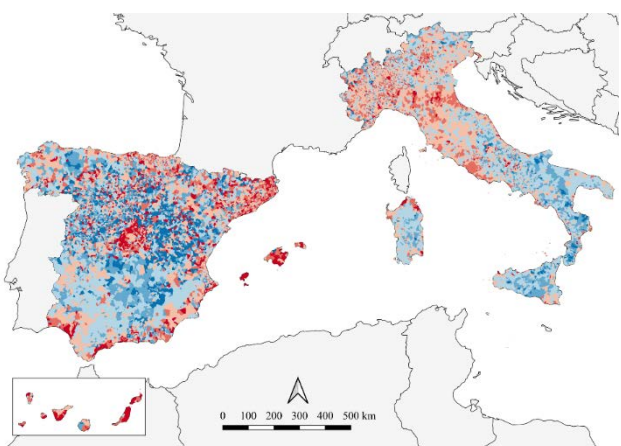
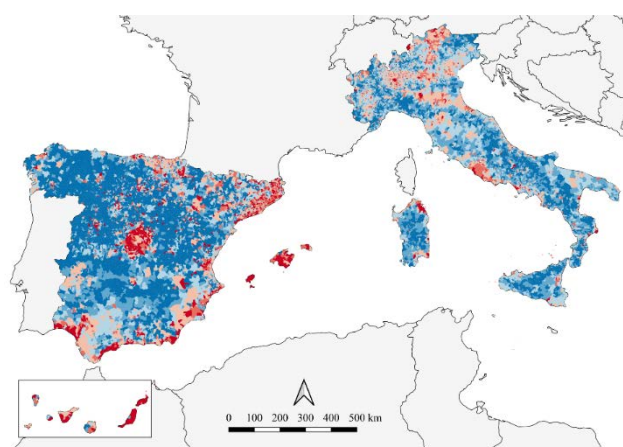


Figura 3.3 Tasas (%) de crecimiento real



Leyenda: ■ < -10 ■ -10 a -5 ■ -5 a 0 ■ 0 a 5 ■ 5 a 10 ■ > 10

Fuente: elaboración propia a partir de los datos del PC, MNP y de la EVR del INE; y de los Anagrafe del ISTAT

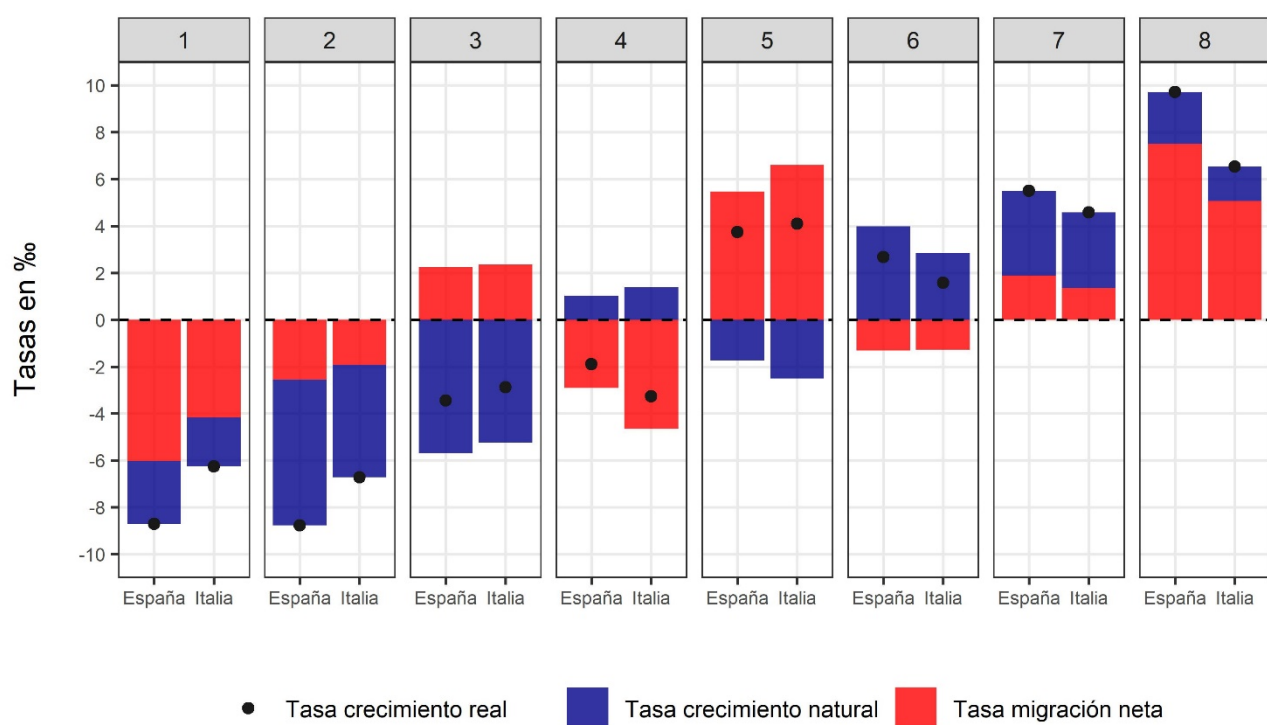
#### 4.2 Tipologías del crecimiento y distribución geográfica

La descomposición del papel de los componentes natural y migratorio en cada uno de los modelos de crecimiento construidos (figura 4) revela que las intensidades de las tasas implicadas suelen ser sistemáticamente superiores en España. Es decir, que a pesar de disponer de tasas que operan en una misma dirección, las intensidades de las tasas españolas superan casi siempre a las italianas. Esta tendencia no se cumple en las tipologías 3 (decrecimiento debido solo al crecimiento natural), 4 (decrecimiento debido solo a la migración neta negativa) y 5 (crecimiento debido solo a migración neta positiva). En el patrón 3, la contribución migratoria italiana supera levemente a la

española; mientras que en el 4 y 5, el aporte italiano supera al español en términos naturales y migratorios.

Algunas tipologías presentan, no obstante, ciertas divergencias. Las más evidentes, en el caso del peso del crecimiento natural, se observan en la 2 (decrecimiento debido en mayor medida al crecimiento natural negativo) y la 6 (crecimiento debido solo al crecimiento natural); y, en el caso de la migración neta, en la 1 (decrecimiento debido en mayor medida a la migración neta negativa) y la 8 (crecimiento debido en mayor medida a la migración neta positiva).

Figura 4. Tasas de crecimiento natural y migración neta por tipologías de crecimiento



● Tasa crecimiento real      ■ Tasa crecimiento natural      ■ Tasa migración neta

Fuente: elaboración propia a partir de los datos del PC,

MNP y de la EVR del INE; y de los Anagrafe del ISTAT

La distribución de las tipologías de crecimiento de España e Italia (Tabla 3) pone de manifiesto varios aspectos relevantes. En España, el 71,1 % de los municipios experimenta una disminución de población entre 2011 y 2021, cifra que asciende al 74,6 % en Italia. El aspecto más destacable es que el porcentaje de municipios que pertenecen a una sola categoría de decrecimiento, la 2 (descenso debido en mayor medida al crecimiento natural negativo), supera ampliamente al porcentaje total de municipios con crecimiento positivo. Esta situación afecta con mayor frecuencia a los municipios italianos. El patrón dominante en los municipios con crecimiento demográfico

positivo de ambos países es el 5, en el que el saldo migratorio positivo compensa las pérdidas por crecimiento natural.

Las tipologías más representativas en España son la 2 (decrecimiento debido en mayor medida al crecimiento natural negativo), la 3 (decrecimiento debido solo al crecimiento natural) y la 1 (decrecimiento debido en mayor medida a la migración neta negativa), describiendo el crecimiento del 68,4 % de los municipios. Por su parte, los patrones más comunes en Italia son el 2 (decrecimiento debido en mayor medida al crecimiento natural negativo), el 3 (decrecimiento debido solo al crecimiento natural) y el 5 (crecimiento debido solo a migración neta positiva): el 70,2 % de los municipios italianos se ajustan a estos criterios de crecimiento.

Si se atiende a la población implicada en 2021 en cada modelo de crecimiento (tabla 2), se evidencian algunas diferencias entre España e Italia. En España, la mayor parte de la población (67,8 %) reside en municipios con crecimiento positivo (tipologías 5, 6, 7 y 8), mientras que en Italia sucede lo contrario, más de la mitad de la población (58,2 %) se localiza en municipios con crecimiento negativo (tipologías 1, 2, 3 y 4).

Las categorías que concentran más población en España son, en orden decreciente, la 8 (crecimiento debido en mayor medida a la migración neta positiva), la 5 (crecimiento debido solo a migración neta positiva) y la 2 (descenso debido en mayor medida al crecimiento natural negativo), entre todas agrupan el 64 % de la población española. En contraste, los patrones de crecimiento que reúnen una mayor población en Italia son el 5 (crecimiento debido solo a migración neta positiva), el 3 (decrecimiento debido solo al crecimiento natural) y el 2 (decrecimiento debido en mayor medida al crecimiento natural negativo), sumando todos ellos el 68,6 % de la población italiana.

Desde una perspectiva espacial, la distribución de las tipologías de crecimiento de ambos países se caracteriza por una marcada proximidad. La mayor parte del territorio español e italiano está ocupada por municipios cuyo crecimiento demográfico experimenta pérdidas poblacionales entre 2011 y 2021. En España, esta tendencia engloba el 75,1 % de la superficie nacional, mientras que en Italia alcanza el 78,6 %. En ambos países, los grupos de crecimiento que abarcan más extensión territorial son: el 2 (decrecimiento debido en mayor medida al crecimiento natural negativo), el 3 (decrecimiento debido solo al crecimiento natural) y el 1 (decrecimiento debido en mayor medida a la migración neta negativa). Estas tres tipologías ocupan el 71,6 % del territorio español y el 74,4 % del italiano.

Tabla 3. Distribución porcentual de las tipologías de crecimiento, municipios implicados, población residente y superficie afectada

TIPOLOGÍA DE CRECIMIENTO	MUNICIPIOS		DENSIDAD		SUPERFICIE	
	ESPAÑA	ITALIA	ESPAÑA	ITALIA	ESPAÑA	ITALIA
1. Decrecimiento debido en mayor medida a la migración neta negativa	16,4	13,2	6,1	11,7	17,4	13,9
2. Decrecimiento debido en mayor medida al crecimiento natural negativo	32,1	30,7	10,9	16,3	35,5	33,8
3. Decrecimiento debido solo al crecimiento natural	19,8	26,2	7,7	23,8	18,7	26,9
4. Decrecimiento debido solo a la migración neta negativa	2,7	4,6	7,5	6,4	3,5	3,9
5. Crecimiento debido solo a migración neta positiva	14,0	13,4	19,9	28,4	10,5	12,7
6. Crecimiento debido solo al crecimiento natural	1,2	2,4	3,8	2,7	1,5	1,9
7. Crecimiento debido en mayor medida al crecimiento natural	2,7	2,2	10,9	2,0	3,6	1,6
8. Crecimiento debido en mayor medida a la migración neta positiva	10,9	7,4	33,2	8,7	9,3	5,2

Fuente: elaboración propia a partir de los datos del PC, MNP y de la EVR del INE; y de los Anagrafe del ISTAT

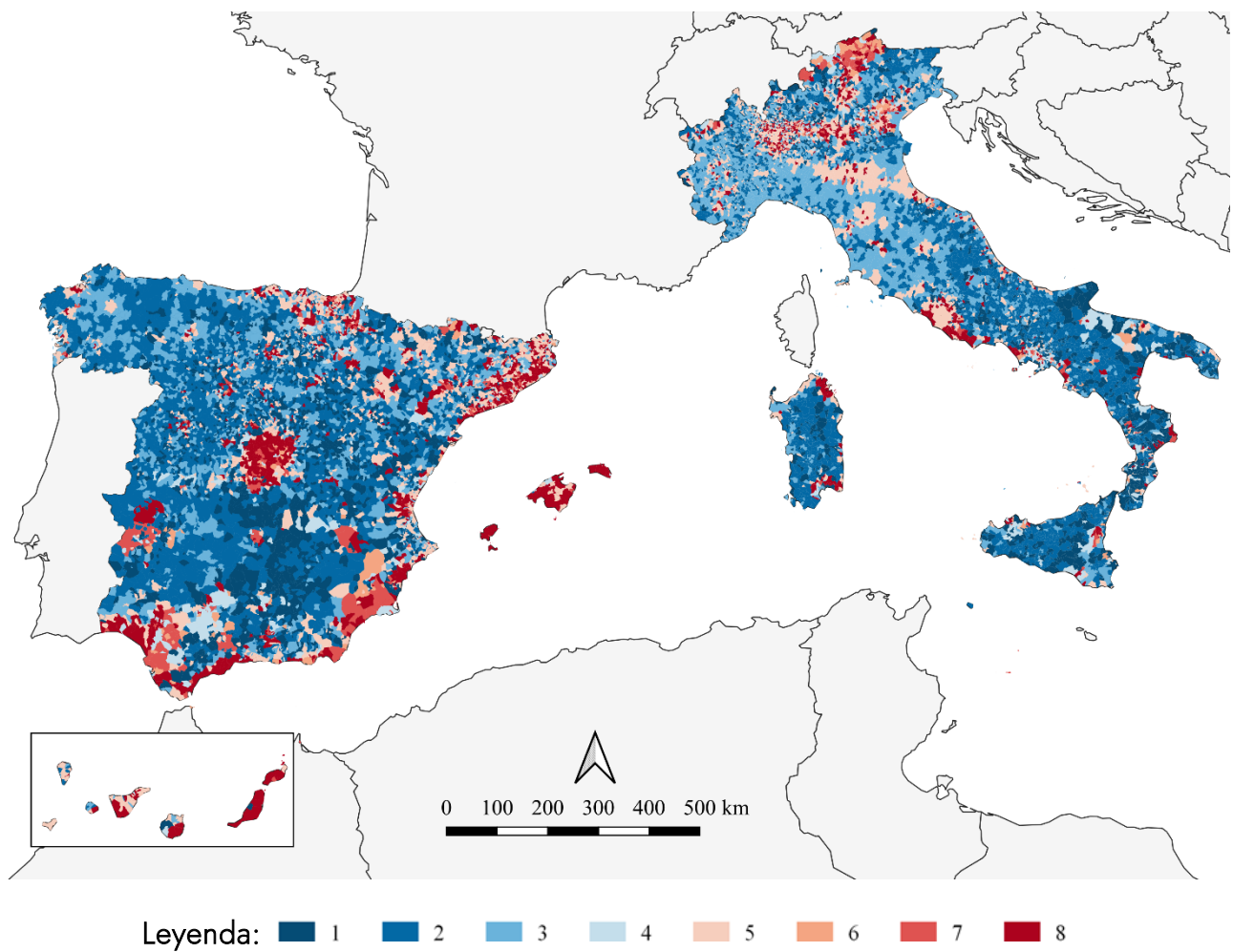
El análisis de la distribución geográfica de las tipologías de crecimiento pone de manifiesto la presencia de algunas peculiaridades en los patrones espaciales de las dinámicas demográficas de la población española e italiana.

La Figura 5 muestra cómo el conjunto de las clasificaciones de crecimiento negativo (1, 2, 3 y 4), representadas por las gamas frías, dominan el paisaje geográfico de España e Italia. Sin embargo, un análisis más detallado muestra ciertas particularidades en su distribución espacial. Por ejemplo, los municipios que pierden población debido, en mayor medida (tipología 1), o exclusivamente (tipología 4), a la migración neta negativa, se concentran en las regiones meridionales de ambos países, siendo menos comunes en las regiones del norte. Otro modelo de crecimiento que se manifiesta de manera uniforme por el sur de Italia es el que engloba los espacios que pierden población debido, en mayor medida, al crecimiento natural negativo (tipología 2). En España, este grupo tiene un patrón más diluido y se reparte por todo el interior peninsular de forma más difusa.

Estos modelos de distribución geográfica difieren significativamente de aquel que agrupa a los municipios que pierden población debido exclusivamente al componente natural (tipología 3), los cuales suelen localizarse en las áreas septentrionales de ambos países, mostrando una mayor continuidad geográfica en Italia.

Las tipologías de crecimiento positivo (5, 6, 7 y 8) muestran una concentración espacial más acentuada que las áreas de crecimiento negativo (Figura 5). En España, gran parte de los municipios que pertenecen a estas categorías se concentran en Madrid, Cataluña, la costa mediterránea, la Baja Andalucía y las islas; en cambio, en Italia, se agrupan en las regiones del norte y del centro, y en puntos aislados del sur. Sin embargo, el análisis por separado de cada una de ellas vuelve a revelar ciertas particularidades en su configuración espacial. Por ejemplo, en el caso de Italia, los municipios que conforman la modalidad de crecimiento por migración (5) se distribuyen entre el norte y el centro de la península. En España, esta clase carece de un patrón espacial definido, aunque suele manifestarse en las zonas periurbanas alrededor de las grandes ciudades. Por otra parte, los municipios que crecen debido, exclusivamente (tipología 6), o en mayor medida (tipología 7), al aporte del crecimiento natural se ubican en la mitad sur de España y, de forma menos frecuente, en Cataluña, País Vasco y el área metropolitana de Madrid; mientras que, en el caso de Italia, se localizan principalmente en la región nororiental, concretamente en Trentino-Alto Adige (Vitali & Billari, 2017) y la llanura Padana, y, de forma más dispersa, en algunas áreas del sur. Por último, los municipios cuyo crecimiento se atribuye principalmente al saldo migratorio (tipología 8) se localizan en la región de Madrid, Cataluña, la costa mediterránea, los territorios insulares y otros puntos dispersos de la geografía española; por su parte, en Italia se observan en la zona norte y, en menor medida, en algunas zonas costeras del sur.

Figura 5. Distribución geográfica de las tipologías de crecimiento



Leyenda: 1 2 3 4 5 6 7 8

Fuente: elaboración propia a partir de los datos del PC,  
MNP y de la EVR del INE; y de los Anagrafe del ISTAT

#### 4.3 Análisis econométrico espacial de los componentes de crecimiento

En la tabla 4 se presentan los Índices de Global Moran de las tasas de los diferentes componentes del crecimiento demográfico y sus niveles de significación estadística. Los resultados obtenidos confirman la presencia de autocorrelación espacial en todos los indicadores de crecimiento en España e Italia durante el periodo 2011-2020.

A pesar de que ambos países se caracterizan por la presencia de valores estadísticamente significativos, los correspondientes a Italia son sistemáticamente más elevados, lo que revela una autocorrelación espacial más pronunciada que en España y que podría estar relacionada con la mayor densidad de la malla municipal señalada anteriormente.

Las tasas que registran los valores de Global Moran más altos y, por tanto, las que presentan mayor autocorrelación espacial, son las tasas de crecimiento natural (0,513 para España y 0,525 para

Italia). El crecimiento natural tiende a agruparse en el espacio de forma significativa, formando clústeres bien definidos (Figura 6.1). Por el contrario, los índices de Global Moran de las tasas de migración neta, aunque significativos, revelan una dependencia espacial menos pronunciada. Para esta variable, Italia (0,236) tiene un índice de Global Moran ligeramente superior al de España (0,192). Las tasas de migración neta italianas tienen mayor dependencia espacial y, por ende, una mayor homogeneidad con las tasas de sus áreas vecinas, en comparación con España, donde la cartografía de los indicadores LISA refleja una mayor dispersión de los espacios con mayor y menor intensidad migratoria (Figura 6.2). Finalmente, las tasas de crecimiento real de ambos países exhiben un valor significativo e idéntico en el Global Moran (0,418). Los clústeres de crecimiento de los municipios de España e Italia se organizan también de una forma nítida a lo largo de la geografía de ambos países (Figura 6.3).

Tabla 4. Índices de Global Moran de España e Italia (2011-2020)

	ESPAÑA	ITALIA
TCN	0,513***	0,525***
TMN	0,192***	0,236***
TCR	0,418***	0,418***

Leyenda: \*\*\* p-value <0,001

Fuente: elaboración propia a partir de los datos del PC, MNP y de la EVR del INE; y de los Anagrafe del ISTAT

La distribución geográfica de los valores del Local Moran (Figura 6) y de las poblaciones y superficies implicadas proporciona una perspectiva adicional, contribuyendo a la identificación y ubicación espacial de los clústeres, los espacios con valores atípicos y aquellos en los que no se confirma la hipótesis de dependencia espacial.

En el mapa del Índice de Local Moran de las tasas de crecimiento natural (Figura 6.1) de España se detectan varios clústeres de valores Alto-Alto concentrados principalmente en zonas del País Vasco, Navarra, Madrid, las regiones del interior y sur peninsular, así como en las islas. Estos clústeres agrupan el 83,3 % de la población española en un 33,8 % de la superficie. Además, se observan conjuntos de valores Bajo-Bajo distribuidos a lo largo del noroeste y en algunas provincias de la zona centro-este. En este caso, aunque la población implicada es muy reducida (2,1 %), los clústeres ocupan una cuarta parte de la superficie del país (24,4 %). En Italia, se identifican varios clústeres de valores Alto-Alto, distribuidos por Lombardía, Véneto, Trentino-Alto Adige, las

provincias emilianas, la región de Puglia y las áreas metropolitanas de Roma y Nápoles, concentrando el 58,6 % de la población italiana en el 25 % de la superficie. Las agrupaciones de valores Bajo-Bajo se distribuyen en ciertas áreas de Piamonte, Liguria, Friuli Venezia Giulia, Toscana, algunas zonas del interior dispersas por el centro y sur peninsular y las islas, concentrando un 8,0 % de la población en un 24,1 % de la superficie.

En el caso de la migración neta (Figura 6.2), la identificación de clústeres es más evidente en Italia que en España. Para el caso español, los conjuntos de valores Alto-Alto se localizan principalmente en Madrid, Cataluña y algunas agrupaciones geográficas dispersas por el interior, la costa mediterránea, Andalucía Occidental y territorios insulares. Aquí, las poblaciones y superficies implicadas se reducen considerablemente respecto al crecimiento natural, con un 53,5 % de la población y un 13 % de la superficie. Por otro lado, se observa un área geográfica de valores Bajo-Bajo en el interior peninsular, sin límites claramente definidos, que rodea Madrid y se extiende por Castilla-La Mancha. Se trata de una población eminentemente rural que concentra solo el 2 % de la población en un 15,9 % de la superficie. En Italia, los valores Alto-Alto de las tasas de migración neta se localizan en Piamonte, Lombardía, Trentino-Alto Adige, Véneto, Emilia-Romaña y el área metropolitana de Roma. Se trata de unos clústeres que concentran el 37,6 % de la población italiana en un 18,2 % de la superficie. Además, destaca un extenso clúster de valores Bajo-Bajo, caracterizado por un área muy compacta, que se extiende del centro hacia el sur, Cerdeña y Sicilia, agrupando el 18,2 % de la población en el 27,4 % de la superficie. Es en esta variable donde mejor se aprecia el patrón diferencial norte-sur tan característico de Italia.

El análisis econométrico de las tasas de crecimiento real (Figura 6.3) también revela la presencia de ciertos clústeres. Para el caso de España, se identifican varios conjuntos bien definidos de valores Alto-Alto, que coinciden con las zonas de mayor inmigración y crecimiento natural. Estas áreas se localizan en el sector oriental de la costa cantábrica, Madrid, Cataluña, un continuo geográfico que se extiende a lo largo de la costa mediterránea, desde Valencia hasta la provincia de Almería, sectores extensos de la costa malagueña, la Baja Andalucía y los territorios insulares. Estos espacios agrupan el 77,9 % de la población en el 24,8 % del territorio. También se identifican conjuntos de valores Bajo-Bajo dispersos por las zonas rurales del interior peninsular, concretamente en amplios sectores de la Meseta Norte y las estribaciones del Sistema Ibérico, espacios de emigración y crecimiento natural negativo, que concentran solo el 1,8 % de la población en el 23 % de la superficie. En Italia, también se perciben varios contrastes. Por un lado, destacan los clústeres de valores Alto-Alto de Piamonte, Trentino-Alto Adige, la Pianura Padana,

Emilia-Romaña, Toscana y algunas áreas metropolitanas de las grandes ciudades del sur y las islas. Este conjunto de áreas geográficas concentra el 51,2 % de la población en un 20,4 % del territorio. Por otro lado, los clústeres Bajo-Bajo se localizan en zonas aisladas del norte: Piamonte, Liguria, Véneto y Friuli Venezia-Giulia, la región central y meridional de los Apeninos y en el interior de las islas, todos ellos espacios castigados por un fuerte envejecimiento y un pronunciado crecimiento natural negativo. Estos espacios agrupan el 7,9 % de la población en un 27 % del territorio. Estos resultados constituyen una diferencia significativa respecto a España, donde las poblaciones de los mismos clústeres Bajo-Bajo suponen solo el 1,8 % en una superficie similar.

Figura 6. Distribución geográfica de los clústeres municipales de las tasas demográficas

Figura 6.1 Tasas (%) de crecimiento natural

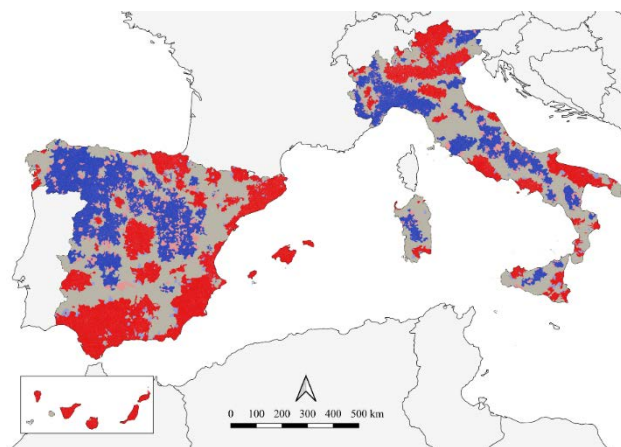


Figura 6.2 Tasas (%) de migración neta

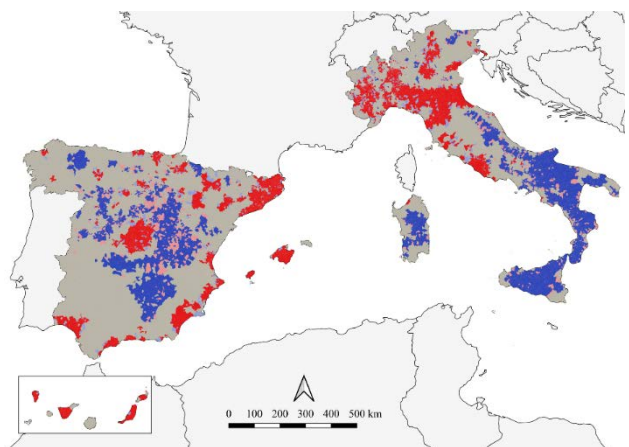
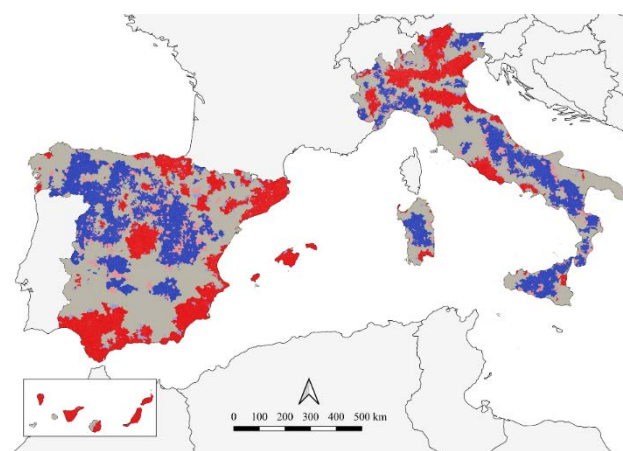


Figura 6.3 Tasas (%) de crecimiento real



Leyenda: No significativo Alto - Alto Bajo - Bajo Bajo - Alto Alto - Bajo

Fuente: elaboración propia a partir de los datos del PC, MNP y de la EVR del INE; y de los Anagrafe del ISTAT

En resumen, se confirma la dependencia espacial, en fechas recientes, de todos los componentes del crecimiento demográfico en España e Italia. No obstante, hay que destacar la mayor autocorrelación espacial del crecimiento natural en ambos países, con mayores poblaciones y superficies afectadas, frente a la migración neta, que, aunque no se distribuye de forma aleatoria en el territorio, implica una menor población y superficie con autocorrelación espacial positiva.

## 5 Conclusiones

Los componentes de crecimiento demográfico de España e Italia durante el periodo 2011-2020 se caracterizan por el predominio de pautas de crecimiento comunes: crecimiento natural negativo y migración neta positiva, aunque con temporalidades e intensidades diferentes. A pesar de estos rasgos comunes, las dinámicas de crecimiento han seguido trayectorias divergentes. Mientras que España ha experimentado un incremento demográfico, Italia ha sufrido un cierto declive poblacional. Este contraste se explica a partir del aporte migratorio desigual, que ha sido capaz de compensar la pérdida de población por crecimiento natural en España, pero que no ha logrado contrarrestar el saldo natural negativo en Italia.

Los datos del conjunto nacional en ambos países ocultan una gran variabilidad en los componentes demográficos a escala local. De hecho, la mayor parte de los municipios españoles e italianos registran tasas de crecimiento negativas. Hay que destacar que los factores demográficos implicados en el declive demográfico han cambiado con respecto a períodos anteriores. Hasta la década de los ochenta del siglo XX, la emigración interna neta era la causa dominante en la pérdida de población de las entidades locales en ambos países de estudio. En la actualidad, las bajas tasas de natalidad y el incremento de las tasas de mortalidad, debido a una estructura demográfica muy envejecida, han hecho que el crecimiento natural se convierta en la causa más influyente en la pérdida de población (Recaño, 2023a; Benassi et al., 2023a). Por el contrario, en los espacios que ganan población en ambos países, el protagonista indiscutible es la migración neta exterior, ante unos saldos internos de escasa entidad, producto generalmente de un balance equilibrado entre entradas y salidas.

En los países de Europa meridional y, concretamente, en España e Italia, los flujos migratorios presentan fuertes desequilibrios territoriales. Además, los contrastes socioeconómicos entre regiones, aunque de menor entidad que en épocas pretéritas, siguen siendo un factor determinante en la definición e intensidad de las dinámicas migratorias en ambos países (Reynaud et al., 2020). Esto ha dado lugar a una dualidad perceptible, en la que las zonas menos desarrolladas registran las tasas de migración neta más bajas, mientras que las zonas más

progresivas y dinámicas concentran la mayor parte de la inmigración, tanto interna como externa, lo que resulta en un crecimiento demográfico con grandes disparidades a escala local. En España, esta dicotomía se traduce en un contraste entre las zonas del interior peninsular frente a Madrid, Cataluña, la costa mediterránea, la Baja Andalucía y los espacios insulares; mientras que, en Italia, la división es aún más clara entre el Sur y las regiones del centro-norte, siguiendo la tónica histórica que caracteriza la dinámica demográfica de los territorios italianos (Benassi et al., 2019).

Los resultados de este estudio han permitido confirmar que, a escala municipal, España e Italia comparten ciertas similitudes en la evolución demográfica del periodo 2011-2020. La mayor parte de los municipios que pierden población lo hacen debido al aporte negativo conjunto del crecimiento natural y del saldo migratorio, siendo el primero de ellos el componente más influyente en la pérdida de población; por el contrario, las zonas que crecen lo hacen casi exclusivamente por el componente migratorio. La distribución de las tipologías de crecimiento demuestra que, en proporción, hay más municipios que pierden población en Italia que en España. Sin embargo, la distribución estadística de las tasas municipales de crecimiento real, natural y migratorio ponen de manifiesto que la situación demográfica de España es, en términos generales, más heterogénea y adquiere, en los municipios más pequeños, una situación más crítica que la de Italia.

Todos estos resultados han evidenciado una serie de desequilibrios espaciales, manifestados en el catálogo cartográfico expuesto en este artículo. En España, las zonas de crecimiento se concentran principalmente en el área metropolitana de Madrid, Cataluña, la costa mediterránea, la Baja Andalucía y las islas; mientras que el interior peninsular registra tasas de crecimiento negativas, especialmente críticas en la zona noroeste y las estribaciones del Sistema Ibérico, donde el fenómeno del envejecimiento y las pérdidas por crecimiento natural conviven con la persistencia de una migración interna negativa y un escaso poder de atracción de la inmigración exterior. En Italia, las áreas de crecimiento demográfico se concentran, en su mayor parte, en la zona norte-centro, dejando a la zona de los Apeninos, el sur y las islas en una situación preocupante frente a los desafíos demográficos futuros.

El análisis econométrico confirma la existencia de una dependencia espacial significativa en las diferentes dinámicas demográficas españolas e italianas, reforzando la idea de que la intervención local y/o regional es la política más adecuada para tratar de resolver los problemas demográficos que sufren estos espacios. Como se observa en los clústeres dibujados de la figura 6, Italia muestra una mayor intensidad de los indicadores de dependencia espacial en las tasas de crecimiento natural y migratorio. Este hecho podría estar influenciado por las características geográficas

singulares de este país, como el tamaño, la densidad y el poblamiento de los municipios (Reynaud et al., 2020), en relación con las que presenta España para las mismas dimensiones (Recaño, 2023b).

Algunos estudios prevén que los desequilibrios demográficos entre regiones continúen e incluso se agraven en el futuro (Newsham & Rowe, 2022). Ante esta perspectiva, los gobiernos de ambos países se están esforzando en la planificación e implementación de medidas que ayuden a abordar los problemas demográficos a los que están sometidas ciertas regiones (Pazos-Vidal, 2022). Sin embargo, el diseño y el diagnóstico incorrecto de los factores que participan en las pérdidas de población suelen limitar el alcance y la eficacia a la hora de afrontar la complejidad y la magnitud de los desafíos demográficos a los que se enfrentan las áreas más afectadas (Pinilla & Sáez, 2021; Recaño, 2023a).

El crecimiento natural negativo se ha convertido en el principal mecanismo que interviene en el declive demográfico de extensas áreas geográficas de España e Italia, un factor de naturaleza estructural difícilmente modificable a corto y medio plazo. No se atisba, en el futuro más inmediato, una activación de las aportaciones endógenas de carácter demográfico derivadas de una recuperación de la fecundidad, que ayuden en la reversión de la despoblación. Por el contrario, se espera un agravamiento paulatino de la incidencia relativa de la mortalidad, producto del inevitable envejecimiento de la población que se avecina. Solo un mecanismo de naturaleza exógena, la inmigración procedente del exterior, promete enderezar la preocupante situación demográfica que afecta a la totalidad del territorio en ambos países. Sin embargo, la elevada heterogeneidad de los espacios rurales en declive demográfico de España e Italia exige una priorización en aras de la aplicación de políticas eficaces contra la despoblación. No todos los municipios son recuperables, especialmente aquellos de menor dimensión demográfica y notable envejecimiento. Ante esta certeza, es preferible apostar por los espacios con menor riesgo de despoblación y por las ciudades de dimensión pequeña o media, las únicas entidades locales que pueden articular y mantener los servicios en los territorios rurales, a la vez que conservan unas mínimas condiciones de sostenibilidad demográfica.

En vía de investigaciones futuras, sería conveniente ampliar el alcance de este estudio, incorporando otros países del sur de Europa con desafíos demográficos similares, como Portugal y Grecia. El análisis de las causas subyacentes y los factores determinantes de los retos demográficos facilitaría el intercambio de mejores prácticas y el desarrollo de políticas más efectivas por parte de la Unión Europea en el frente sur de su territorio.

**Agradecimientos:** Los resultados presentados en este trabajo forman parte de la tesis doctoral de Laura Marbán Martínez, enmarcada en el Programa de Doctorado en Demografía del Centre d'Estudis Demogràfics (CED-CERCA) y el Departamento de Geografía de la Universitat Autònoma de Barcelona (UAB). El estudio ha contado con la financiación de una beca DEMOS\_2020 del Centre d'Estudis Demogràfics y una beca de movilidad para jóvenes investigadores de la Societat Econòmica Barcelonesa d'Amics del País (SEBAP). La realización de este artículo se encuadra en el proyecto "El impacto de la COVID-19 en los procesos migratorios y residenciales: España en perspectiva comparada" (PID2020-113665RB-I00), financiado por el Ministerio de Ciencia e Innovación dentro del programa Retos de la Sociedad del Plan Nacional de I+D+i. También ha recibido el apoyo de las ayudas a proyectos de I+D+i en líneas estratégicas y en colaboración público-privada del MICINN (PLEC2021008041), así como de la subvención otorgada por el MIUR (2022XRHT8R) para el proyecto "The SMILE project: Statistical Modelling and Inference for Living the Environment"

**Declaración responsable:** Las/os autoras/es declaran que no existe ningún conflicto de interés con relación a la publicación de este artículo. Las tareas han sido distribuidas de la siguiente manera: Laura Marbán Martínez ha liderado el proyecto bajo la supervisión de Joaquín Recaño, director de su tesis doctoral. Ambas/os autoras/es han contribuido en la conceptualización de ideas, el asentamiento de las bases teóricas y metodológicas, el planteamiento de hipótesis, la revisión bibliográfica, el análisis e interpretación de los resultados, y la redacción final del manuscrito. Cecilia Reynaud ha colaborado en el conjunto del proyecto, enfocando su análisis en el caso italiano y supervisando los datos.

## Bibliografía

- Alaimo, L.S., Ciommi, M., Vardopoulos, I., Nosova, B., & Salvati, L. (2022). The medium-term impact of the COVID-19 pandemic on population dynamics: The case of Italy. *Sustainability*, 14(21). <https://doi.org/10.3390/su142113995>
- Anselin, L. (1995). Local indicators of spatial association—LISA. *Geographical analysis*, 27(2), 93-115. <https://onlinelibrary.wiley.com/doi/epdf/10.1111/j.1538-4632.1995.tb00338.x>
- Bayona-i-Carrasco, J., & Domingo, A. (2024). Migratory flows and pandemic: An analysis of impacts on immigrants of foreign origin in Spain. *International Migration*, 62(1), 94-111. <https://doi.org/10.1111/imig.13197>
- Benassi, F., Bonifazi, C., Heins, F., Licari, F., & Tucci, E. (2019). Population change and international and internal migration in Italy, 2002-2017: Ravenstein revisited. *Comparative Population Studies*, 44. <https://doi.org/10.12765/CPoS-2020-16>
- Benassi, F., Busetta, A., Gallo, G., & Stranges, M. (2023a). Neighbourhood effects and determinants of population changes in Italy: A spatial perspective. *Vienna Yearbook of Population Research*, 21. <https://doi.org/10.1553/p-5dfz-c44a>
- Benassi, F., Busetta, A., Gallo, G., & Stranges, M. (2023b). Local heterogeneities in population growth and decline. A spatial analysis of Italian municipalities. In N. Salvati, C. Perna, S. Marchetti, & R. Chambers (Eds.), *Studies in Theoretical and Applied Statistics* (pp. 297-314). Springer Nature. [https://link.springer.com/chapter/10.1007/978-3-031-16609-9\\_19](https://link.springer.com/chapter/10.1007/978-3-031-16609-9_19)
- Billari, F.C. (2008). Lowest-low fertility in Europe: Exploring the causes and finding some surprises. *The Japanese Journal of Population*, 6(1), 2-18. [https://www.ipss.go.jp/webj-ad/webJournal.files/population/2008\\_4/01billari.pdf](https://www.ipss.go.jp/webj-ad/webJournal.files/population/2008_4/01billari.pdf)
- Bonifazi, C. (2015). Le migrazioni tra Sud e Centro-Nord: persistenze e novità. In I. Gjergji (Ed.), *La nuova migrazione italiana: Cause, mete e figure sociali* (pp. 57-69). Edizioni Ca' Foscari. <https://doi.org/10.14277/978-88-6969-011-2>
- Bonifazi, C., & Heins, F. (2003): Testing the differential urbanisation model for Italy. *Tijdschrift voor Economische en Sociale Geografie* 94(1), 23-37 <https://doi.org/10.1111/1467-9663.00234>
- Bonifazi, C., Heins, F., Strozza, S., & Vitiello, M. (2009). The Italian transition from emigration to immigration country. *IRPPS Working Papers*. [https://doi.org/10.14600/irpps\\_wps.24.2009](https://doi.org/10.14600/irpps_wps.24.2009)

Buonomo, A., Benassi, F., Casacchia, O., & Strozza, S. (2024). Old but gold: The use of multiregional life tables and the place-of-birth-dependent approach for studying recent internal migration in Italy. *International Journal of Population Studies*. <https://doi.org/10.36922/ijps.1898>

Cabré, A., Domingo, A., & Menacho, T. (2001). Demografía y crecimiento de la población española durante el siglo XX. In M. Pimentel Siles (Coord.), *Procesos migratorios, economía y personas* (pp. 121-138). Instituto de Estudios de Cajamar. <https://www.publicacionescajamar.es/publicacionescajamar/public/pdf/publicacionesperiodicas/mediterraneo-economico/1/mediterraneo-economico-1.pdf>

Camarero, L., Sampedro, R., & Oliva, J. (2013). Trayectorias ocupacionales y residenciales de los inmigrantes extranjeros en las áreas rurales españolas. *Sociología del Trabajo*, 77, 69-91. [https://biblioteca.colson.edu.mx/e-docs/revistas\\_e/RST/RST77.pdf#page=70](https://biblioteca.colson.edu.mx/e-docs/revistas_e/RST/RST77.pdf#page=70)

Carioli, A., Recaño, J., & Devolder, D. (2021). The changing geographies of fertility in Spain (1981-2018). *Investigaciones Regionales*, 2021(50), 147-167. <https://doi.org/10.38191/iirr-jorr.21.015>

Casacchia, O., Reynaud, C., Strozza, S., & Tucci, E. (2022). Internal migration patterns of foreign citizens in Italy. *International Migration*, 60(5), 183-197. <https://doi.org/10.1111/imig.12946>

Castro Martín, T., & Rosero-Bixby, L. (2011). Maternidades y fronteras: la fecundidad de las mujeres inmigrantes en España. *Revista Internacional de Sociología*, 69(M1), 105-137. <http://163.178.170.185/bitstream/handle/123456789/877/Maternidades%20y%20fronteras%20la%20fecundidad%20de%20las%20mujeres.%20Rosero.pdf?sequence=1&isAllowed=y>

Collantes, F., & Pinilla, V. (2011). *Peaceful surrender: the depopulation of rural Spain in the twentieth century*. Cambridge Scholars Publishing.

Collantes, F., & Pinilla, V. (2019). ¿Lugares que no importan? La despoblación de la España rural desde 1900 hasta el presente. Prensas de la Universidad de Zaragoza.

Collantes, F., Pinilla, V., Sáez, L.A., & Silvestre, J. (2014). Reducing depopulation in rural Spain: the impact of immigration. *Population, Space and Place*, 20(7), 606-621. <https://doi.org.are.uab.cat/10.1002/psp.1797>

De Cos, O. (2023). Patrones espaciotemporales de la población en España (1998-2021). Los matices de la pérdida de población en un sistema bipolar. *Investigaciones Regionales – Journal of Regional Research*, 2(56), 69-89. <https://doi.org/10.38191/iirr-jorr.23.011>

Del Panta, L., & Detti, T. (2019). Lo spopolamento nella storia d'Italia, 1871–2011. In G. Macchi Jánica & A. Palumbo (Eds.), *Territori spezzati. Spopolamento e abbandono nelle aree interne*

dell'Italia contemporanea (pp. 15-28). Centro Italiano per gli Studi Storico-Geografici. <https://www.cisge.it/ojs/index.php/Volumi/article/view/871>

Del Rey, A., & R. Grande. (2015). A Longitudinal Analysis of Reproductive Behavior. In A. Domingo, A. Sabater & R. Verdugo, *Demographic Analysis of Latin American Immigrants in Spain: From Boom to Bust* (pp. 133-153). [https://doi.org/10.1007/978-3-319-12361-5\\_6](https://doi.org/10.1007/978-3-319-12361-5_6)

Delgado Pérez, M., & Livi-Bacci, M. (1992). Fertility in Italy and Spain: The Lowest of the World. *Family Planning Perspectives* 24(4), 162-171  
[https://www.jstor.org/stable/pdf/2136019.pdf?refreqid=fastly-default%3A6571e21a54545ab26c294109197e4dc9&ab\\_segments=&origin=&initiator=&accept\\_TC=1](https://www.jstor.org/stable/pdf/2136019.pdf?refreqid=fastly-default%3A6571e21a54545ab26c294109197e4dc9&ab_segments=&origin=&initiator=&accept_TC=1)

Domingo, A., & Blanes, A. (2015). Inmigración y emigración en España: estado de la cuestión y perspectivas de futuro. *Anuario CIDOB de la Inmigración* (pp. 91-122). <https://raco.cat/index.php/AnuarioCIDOBInmigracion/article/view/312788/402873>

Domínguez-Mujica, J., & Pérez-García, T. (2017). The economic crisis and the Southern European migration model. In G. Birgit & J. Domínguez-Mujica (Eds.), *European Mobility in Time of Crisis. The new context of European South-North Migration* (pp.17-48). Transcript. <https://doi.org/10.14361/9783839434789-002>

Franch, X., Martí-Henneberg, J., & Puig-Farré, J. (2013). Un análisis espacial de las pautas de crecimiento y concentración de la población a partir de series homogéneas: España (1877-2001). *Investigaciones Regionales*, (25), 43-66.

[https://www.aecr.org/old/images/ImatgesArticles/2013/5/3\\_Franch.pdf](https://www.aecr.org/old/images/ImatgesArticles/2013/5/3_Franch.pdf)

Gallo, S. (2012). *Senza attraversare le frontiere: le migrazioni interne dall'unità a oggi*. Gius. Laterza & Figli Spa.

Gil-Alonso, F., Bayona, J., & Pujadas, I. (2015). Las migraciones internas de los extranjeros en España. Dinámicas espaciales recientes bajo el impacto de la crisis. *Boletín de la Asociación de Geógrafos Españoles*, (69), 233-261. <https://doi.org/10.21138/bage.1896>

Gil-Alonso, F., Bayona-i-Carrasco, J., & Pujadas-Rubies, I. (2023). Is Spanish depopulation irreversible? Recent demographic and spatial changes in small municipalities. *Vienna Yearbook of Population Research*, (21), 1-33. <https://doi.org/10.1553/p-9fd9-h7g5>

Golini, A., Mussino, A., & Savioli, M. (2000). *Il malessere demografico in Italia: una ricerca sui comuni italiani*. Il Mulino.

González-Leonardo, M., López-Gay, A., Newsham, N., Recaño, J., & Rowe, F. (2022). Understanding patterns of internal migration during the COVID-19 pandemic in Spain. *Population, Space and Place*, 28(6). <https://doi.org/10.1002/psp.2578>

González-Leonardo, M., Newsham, N., & Rowe, F. (2023). Understanding Population Decline Trajectories in Spain using Sequence Analysis. *Geographical Analysis*, 55(4), 495-516. <https://doi.org/10.1111/gean.12357>

Gutiérrez Posada, D., Rubiera Morollón, F., & Viñuela, A. (2018). Ageing places in an ageing country: The local dynamics of the elderly population in Spain. *Tijdschrift voor economische en sociale geografie*, 109(3), 332-349. <https://doi.org/10.1111/tesg.12294>

Heuveline, P., & Tzen, M. (2021). Beyond deaths per capita: comparative COVID-19 mortality indicators. *BMJ open*, 11(3), e042934. <https://www.torrossa.com/it/resources/an/4633013>

King, R. (2000). Southern Europe in the changing global map of migration". In R. King, G. Lazaridis & C. Tsardanidis (Eds.), *Eldorado or fortress? Migration in southern Europe* (pp. 3-26). Macmillan

King, R., & DeBono, D. (2013). Irregular Migration and the 'Southern European Model' of Migration. *Journal of Mediterranean Studies*, 22(1), 1-31. <https://www.diva-portal.org/smash/get/diva2:1398110/FULLTEXT01.pdf>

López Gay, A. (2017). Hacia un patrón territorial complejo de la movilidad residencial. El caso de la Región Metropolitana de Barcelona. *Papers: Revista de sociología*, 102(4), 793-823. <https://doi.org/10.5565/rev/papers.2420>

Martinotti, G. (1993). *Metropoli: la nuova morfologia sociale della città* (Vol. 399). Il Mulino.

Molinero, F., & Alario-Trigueros, M. (2019). Ante el reto de la despoblación de la España interior y sus diferencias regionales. In E. Cejudo & F. Navarro (Eds.), *Despoblación y transformaciones sociodemográficas de los territorios rurales: los casos de España, Italia y Francia* (pp. 41-70). Università del Salento.

[https://uvadoc.uva.es/bitstream/handle/10324/40319/MOLINERO\\_ALARIO\\_Ante%20el%20reto%20de%20la%20despoblaci%c3%b3n.pdf?sequence=1&isAllowed=y](https://uvadoc.uva.es/bitstream/handle/10324/40319/MOLINERO_ALARIO_Ante%20el%20reto%20de%20la%20despoblaci%c3%b3n.pdf?sequence=1&isAllowed=y)

Moran, P.A. (1948). The interpretation of statistical maps. *Journal of the Royal Statistical Society: Series B (Methodological)*, 10(2), 243-251. <https://www.jstor.org/stable/2983777>

Muñoz-Pérez, F., & Izquierdo Escribano, A. (1989). L'Espagne, pays d'immigration. *Population (French Edition)*, 44(2), 257-289. <https://www.jstor.org/stable/1533583>

Newsham, N., & Rowe, F. (2022). Understanding the trajectories of population decline across rural and urban Europe: A sequence analysis. *Population, Space and Place*, 29(3). <https://doi.org/10.1002/psp.2630>

Nieto, J.A., & Capote, A. (2024). El envejecimiento en España. Un análisis territorial multiescalar. *EMPIRIA. Revista de Metodología de Ciencias Sociales*, (61), 93-122. <https://doi.org/10.5944/empiria.61.2024.41284>

Nieto Masot, A., Cardenas Alonso, G., & Engelmo Moriche, A. (2020). Spatial analysis of the rural-urban structure of the Spanish municipalities. *ISPRS International Journal of Geo-Information*, 9(4), 213. <https://doi.org/10.3390/ijgi9040213>

Oliveau, S., Larue, Q., Doignon, Y., & Blöss-Widmer, I. (2019). Mapping foreign nationals in Spain: an exploratory approach at local level. *Genus*, 75, 1-20. <https://doi.org/10.1186/s41118-018-0047-5>

Pazos-Vidal, S. (2022). "Emptied Spain" and the limits of domestic and EU territorial mobilisation. *Revista Galega de Economía*, 31(2), 1-28.

<https://doi.org/10.15304/rge.31.2.8365>

Pinilla, V., & Sáez, L.A. (2021). What do public policies teach us about rural depopulation: The case study of Spain. *European Countryside*, 13(2), 330-351. <https://doi.org/10.2478/euco-2021-0021>

Recaño, J. (2016). La consolidación de las migraciones internas de inmigrantes como factor estructural de la movilidad geográfica de España. *Panorama social*, 24(2), 49-71. [https://www.funcas.es/wp-content/uploads/Migracion/Articulos/FUNCAS\\_PS/024art04.pdf](https://www.funcas.es/wp-content/uploads/Migracion/Articulos/FUNCAS_PS/024art04.pdf)

Recaño, J. (2020). Cambio y continuidades en las migraciones internas en España. In J. D. Sempere (Ed.), *Población y territorio. España tras la crisis de 2018* (pp. 229–265). <http://rua.ua.es/dspace/handle/10045/115404>

Recaño, J. (2023a). La viabilidad demográfica de la España Rural. *ICE, Revista de Economía*, (931). <https://doi.org/10.32796/ice.2023.931.7610>

Recaño, J. (2023b). Mitos, certezas y estereotipos sobre la despoblación en la España rural. In *La coartada demográfica: y el discurso de la involución en España* (pp. 247-283). Icaria Editorial.

Recaño, J., & de Miguel-Luken, V. (2012). The internal migration of foreign-born population in Southern Europe: Demographic patterns and individual determinants. In N. Finney & G. Catney

(Eds.), *Minority internal migration in Europe* (pp. 239-262). Ashgate Publishing.  
<https://doi.org/10.4324/9781315595528>

Reher, D.S., & Silvestre, J. (2009). Internal Migration Patterns of Foreign-Born Immigrants in a Country of Recent Mass Immigration: Evidence from New Micro Data for Spain. *International Migration Review*, 43(4), 815-849. <https://doi.org/10.1111/j.1747-7379.2009.00785.x>

Reques, P., & de Cos, O. (2003). La emigración olvidada: la diáspora española en la actualidad. *Papeles de geografía*, (37), 199-216. <https://revistas.um.es/geografia/article/view/46381>

Reynaud, C., Miccoli, S., Benassi, F., Naccarato, A., & Salvati, L. (2020). Unravelling a demographic 'Mosaic': Spatial patterns and contextual factors of depopulation in Italian Municipalities, 1981–2011. *Ecological Indicators*, (115). <https://doi.org/10.1016/j.ecolind.2020.106356>

Reynaud, C., & Miccoli, S. (2019). Population ageing in Italy after the 2008 economic crisis: A demographic approach. *Futures*, 105, 17-26. <https://doi.org/10.1016/j.futures.2018.07.011>

Reynaud, C., & Miccoli, S. (2023). Demographic sustainability in Italian territories: The link between depopulation and population ageing. *Vienna Yearbook of Population Research*, 21. <https://doi.org/10.1553/p-2n3h-fk5b>

Rizzo, A. (2016). Declining, transition and slow rural territories in southern Italy Characterizing the intra-rural divides. *European Planning Studies*, 24(2), 231-253. <http://dx.doi.org/10.1080/09654313.2015.1079588>

Rowe, F., Bell, M., Bernard, A., CharlesEdwards, E., & Ueffing, P. (2019). Impact of Internal Migration on Population Redistribution in Europe: Urbanisation, Counterurbanization or Spatial Equilibrium? *Comparative Population Studies*, 44, 201-234. <https://doi.org/10.12765/CPoS-2019-18>

Serrano-Martínez, J.M., & García-Marín, R. (2018). Demographic stagnation and decline in Spain: A cause for concern? *Bulletin of Geography. Socio-economic Series*, (39), 129-145. <http://doi.org/10.2478/bog-2018-0009>

Silvestre, J. (2005). Internal migrations in Spain, 1877–1930. *European Review of Economic History*, 9(2), 233-265. <https://doi.org/10.1017/S1361491605001462>

Strozza, S., Benassi, F., Ferrara, R., & Gallo, G. (2016). Recent demographic trends in the major Italian urban agglomerations: The role of foreigners. *Spatial Demography*, 4, 39-70. <https://doi.org/10.1007/s40980-015-0012-2>

Susino, J., & Duque Calvacho, R. (2013). Veinte años de suburbanización en España (1981-2001). El perfil de sus protagonistas. *Documents d'anàlisi geogràfica*, 59(2), 265-290. <https://doi.org/10.5565/rev/dag.31>

Tomassini, C., & Lamura, G. (2009). Population ageing in Italy and southern Europe. In *International handbook of population aging* (pp. 69-89). Springer Netherlands. <http://ndl.ethernet.edu.et/bitstream/123456789/49989/1/66.pdf#page=77>

Vidal, T., & Pujadas, I. (1983). *La població*. Sirocco.

Vitali, A., & Billari, F. C. (2017). Changing determinants of low fertility and diffusion: A spatial analysis for Italy. *Population, Space and Place*, 23(2). <https://doi.org/10.1002/psp.1998>

Wolff, M., & Wiechmann, T. (2018). Urban growth and decline: Europe's shrinking cities in a comparative perspective 1990–2010. *European urban and regional studies*, 25(2), 122-139. <https://doi.org/10.1177/0969776417694680>